

Kristallvõre dünaamika

* Võre lained ühedimensionaalsel juhul

- ⇒ Liikumisvõrrand
- ⇒ Dispersiooni kõver

* Võre lainete dispersioon

- ⇒ Helilained ja Braggi peegeldus
- ⇒ Piki- (L) ja risti (T) lained võres
- ⇒ 3D

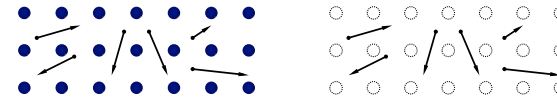
1

Võre lained ühedimensionaalsel juhul

* Elektroni liikumisel reaalses kristallides ei saa me kuidagi ignoreerida tema vastamõju kristalliga.

⇒ Kristallvõre käitumine määrab paljuski ka materjalide **termilised** omadused.

⇒ Kristallvõre aatomite võnkumine on ka üheks oluliseks teguriks elektronide **hajumise** põhjustamisel.



ELEKTRONI LIIKUMINE REAALSES KRISTALLIS

VABA ELEKTRONI MUDELIS IGNOREERITakse AATOMITE MÕJU

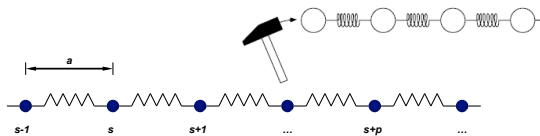
2

Võre lained ühedimensionaalsel juhul

• LIHTSAIM MUDEL: ühedimensionaalne kristall, mis koosneb ühesugustest aatomitest.

* Aatomite mass on M ja nad paiknevad **LINEAARSES** võres kaugusel a üksteisest

* Oletame, et aatomid on ühendatud ideaalsete vedrudega (Hooke'i seadus!)



3

Võre lained ühedimensionaalsel juhul

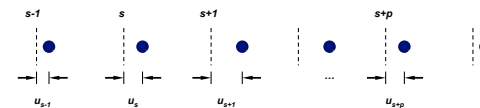
Vaatleme **HARMOONILIST** juhtu, kus aatomid nihkuvad tasakaaluasendist vaid väikesele kaugusele u_s ja nihe sõltub lineaarselt jõust

* Aatomile indeksiga s võime siis kirjutada **LIIKUMISVÕRRANDI**:

$$F_s = M \frac{d^2 u_s}{dt^2} = \sum_p c_p (u_{s+p} - u_s)$$

⇒ Siin indeks p omab **NII** positiivseid kui ka negatiivseid väärtusi

⇒ c_p on **JÕUKONSTANT** aatomite s ja p vahel ning ta sõltub indeksist p , s.t. ta on suurim kõige lähemate aatomite vahel.



4

Võre lained ühedimensionaalsel juhul

• Kuna me oletasime, et tegemist on harmooniliste võnkumistega, siis liikumisvõrrandi lahendiks peab olema ka harmoonilistele võnkumistele iseloomulik lahend:

$$u_s = ue^{i(qx_s - \omega t)}, \quad x_s = sa$$

* See lahend on pikilaine, mille maksimumamplituud on u ja lainearv q .

* Asetades selle lahendi liikumisvõrrandisse, saame võrrandi viia kujule:

$$Mu(i\omega)^2 e^{i(qsa - \omega t)} = \sum_p c_p u (e^{iq(s+p)a} - e^{iqsa}) e^{-i\omega t}$$

ehk
$$-M\omega^2 = \sum_p c_p (e^{iqpa} - 1)$$

5

Võre lained ühedimensionaalsel juhul

• Sümmetriast lähtudes on $c_p = c_{-p}$ ja see võimaldab viimase võrrandi viia kujule:

$$-M\omega^2 = \sum_{p>0} c_p (e^{iqpa} + e^{-iqpa} - 2)$$

* Sel kombel saame **DISPERSIOONI VALEMI**, mis seob võre võnkumiste lainearvu ning sageduse.

$$\omega^2 = \frac{2}{M} \sum_{p>0} c_p (1 - \cos qpa) = \frac{4}{M} \sum_{p>0} c_p \sin^2 \frac{qpa}{2}$$

6

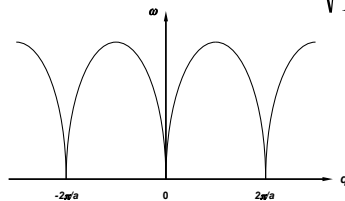
Võre lained ühedimensionaalsel juhul

• Lihtsaim juht on siis, kui arvestame vaid lähimaid naabreid, s.t. $p = 1$ ning siis on dispersioonivalem kujul:

$$\omega^2 = \frac{4}{M} c_1 \sin^2 \frac{qa}{2}$$

• * Allpool on toodud selle nn. dispersioonikõvera kuju, millest järeldub, et **maksimaalne** sagedus sõltub jõukonstandist c_1 ning saabub siis, kui

$$\omega_{max} = 2\sqrt{\frac{c_1}{M}}$$

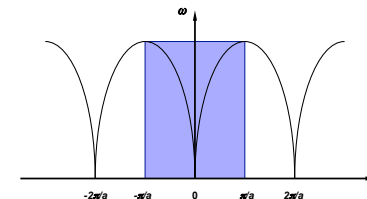


7

Võre lained ühedimensionaalsel juhul

• Dispersioonikõver on perioodiline ning kogu informatsiooni saame kätte siis, kui vaatleme vaid lainearvu vahemikku:

$$-\frac{\pi}{a} \leq q \leq \frac{\pi}{a}$$



8

Võre lained ühedimensionaalsel juhul

• Ka sellest kõige lihtsamast dispersioonikõverast saame teha mitu olulist järeldust:

* $q=0$ punkti läheduses muutub sagedus peaaegu lineaarselt lainearvust:

$$\omega = 2\sqrt{\frac{c_1}{M}} \sin \frac{qa}{2} \approx \sqrt{\frac{c_1}{M}} qa$$

⇒ See on ka loogiline, sest $q=0$ vastab pikalainelisele piirile, kus võre diskreetne loomus pole eriti märgatav.

⇒ Saadud laine kujutab endast helilainet, mis liigub grupikiirusega:

$$v_g = \frac{\partial \omega}{\partial k} = \sqrt{\frac{c_1}{M}} a$$

Seega helikiiruse mõõtmine kristallis annab võimaluse määrata jõukonstanti c_1 !

9

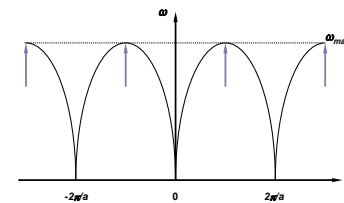
Võre lained ühedimensionaalsel juhul

• Teine oluline tulemus on maksimumsageduse olemasolu, kus vastav grupikiirus muutub nulliks:

$$v_g = \frac{\partial \omega}{\partial k} = 0$$

* Maksimumsagedus saavutatakse kohtades, kus $q = \pm \pi/a$, millele vastav lainepikkus on $\lambda = 2a$

(Braggi difraktsioonitingimus!)



10

Võre lained ühedimensionaalsel juhul

• Braggi tingimus ühedimensionaalsel juhul, kui Braggi nurk on alati $\pi/2$:

$$\lambda = 2a \sin \frac{\pi}{2} = 2a$$

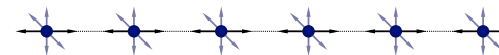
⇒ **INTERFERENTS!** tõttu algse laine ning peegeldunud laine vahel tekib seisv laine.

11

Võre lained ühedimensionaalsel juhul

• Peale pikivõnkumiste võib ühedimensionaalne aatomitest koosnev "kett" ilmutada ka **ristivõnkumisi**

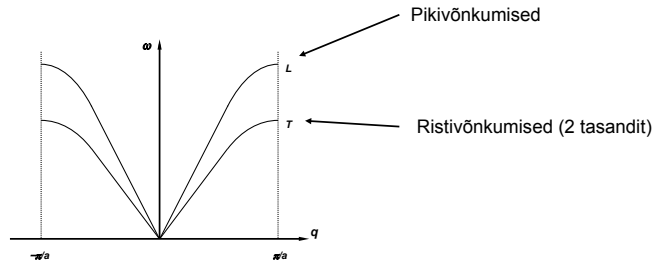
* Ristivõnkumised võivad toimuda kahes eri tasandis ning nendele vastav dispersioonikõver erineb pikivõnkumiste dispersioonikõverast.



12

Võre lained ühedimensionaalsel juhul

- Üldiselt on ristivõnkumistel mõjuvad jõud **väiksemad** kui pikivõnkumiste puhul ning seetõttu on ristivõnkumiste dispersioonikõver tavaliselt **allpool** pikivõnkumiste oma.

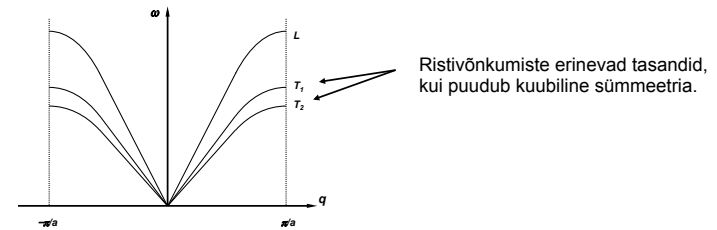


13

Võre lained kolmemõõtmelisel juhul

- 3D juhul pole üldiselt ristivõnkumiste tasandid võrdse sümmeetriaga.

⇒ Sel juhul lõheneb ristivõnkumiste dispersioonikõver **kaheks haruks**.



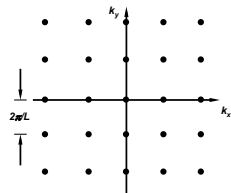
14

Võre võnkumiste kvantmehhaaniline esitus.

* Enne vaatlesime hüpoteetilist lõpmatut ühedimensionaalset kristalli, kuid reaalsel kristallidel on alati mingi **lõplik** suurus.

⇒ Lõplik kristall tähendab ka seda, et vaid teatud kristallivõre võnkumiste moodid mahuvad sellesse kristalli.

⇒ Paljuski on võre võnkumiste käsitlemine sarnane elektroni käsitlemisele kristallis.



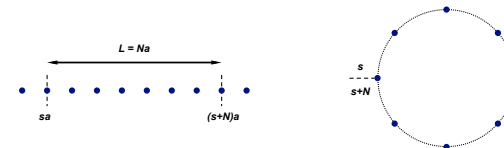
15

Võre võnkumiste kvantmehhaaniline esitus.

• Vaatleme nüüd samasugust ühedimensionaalset mudelit, kus aatomite arv on N.

* Kuna "võre" on nüüd **lõpliku** suurusega, siis aatomite võnkumine peab vastama teatud **ääretingimustele**.

⇒ Siin nõuame näiteks seda, et keti esimene ja viimane aatom võnguksid **samas faasis** teineteisega, s.o. nn. perioodiline ääretingimus.



PERIOODILISE ÄÄRETINGIMUSE RAKENDAMINE ON TEGELIKULT SAMAVÄÄRNE KETI RINGIKS KEERAMISEGA SIIS s ja (s+N) AATOMID OMAVAD SAMASUGUSEID NIHKKEID.

16

Võre võnkumiste kvantmehhaaniline esitus.

- Aatomi indeksiga s nihe avaldub teatavasti järgnevalt

$$u_s = ue^{i(qsa - \omega t)}$$

- * Perioodilisest ääretingimusest järeldub, et

$$u_s = u_{s+N}$$

Seega: $ue^{iqsa} = ue^{iq(s+N)a}$

- * Siit saame lainearvude jaoks tingimused:

$$e^{iqNa} = 1 \Rightarrow q = \frac{2\pi}{Na}n, \quad n = 0, \pm 1, \pm 2, \pm 3, \dots$$

17

Võre võnkumiste kvantmehhaaniline esitus.

- Saadud valem näitab, et aatomite võnkumised ühedimensionaalses lõplikus ketis on kvantiseeritud, s.t. vaid teatud moodid on lubatud.

- * **MOODI** all mõtleme me võre mingit kindla lainearvu ja sagedusega võnkumist.

- * Lubatud lainearvud asuvad k -ruumis teineteisest võrdsetel kaugustel:

$$\Delta q_m = \frac{2\pi}{Na} = \frac{2\pi}{L}$$

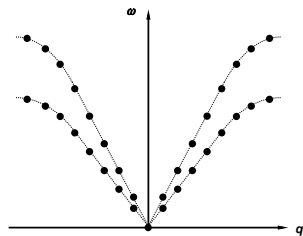
- ⇒ Samasugune oli tulemus ka elektroni jaoks ühedimensionaalses kristallis.

18

Võre võnkumiste kvantmehhaaniline esitus.

- Seega dispersioonikõver lõpliku suurusega kristallis koosneb reast lubatud punktidest.

- * Praktiliselt aga on kristalli aatomite arv N ülisuur, mistõttu punktid sulavad ikkagi näiliseks kõveraks.



19

Võre võnkumiste kvantmehhaaniline esitus.

- Peale pikivõnkumiste eksisteerivad võres ka ristivõnkumised.

- * **IGA** ristivõnkumise tasand omab samasugust lubatud võnkumiste arvu ja seega ühedimensionaalse võre võnkumiste ehk moodide arvuks saame:

$$3 \frac{1}{\Delta q_m} \frac{2\pi}{a} = 3 \frac{L}{2\pi} \frac{2\pi}{a} = 3 \frac{L}{a} = 3 \frac{Na}{a} = 3N$$

- * Edasi võib kogu käsitlust laiendada **3D** juhule, kus igale moodile vastav k -ruumi osa on:

$$\Delta q_m^3 = \frac{8\pi^3}{L^3} = \frac{8\pi^3}{V}$$

20

Erinevate aatomitega võre pikivõnkumised

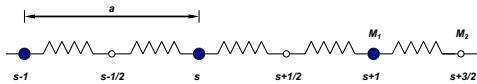
• Nüüd vaatleme, mis muutub, kui võre koosneb erinevat tüüpi aatomitest

* Koosnegu võre aatomitest massidega M_1 ja M_2 ning nende vastavad nihked olgu u ja v

⇒ Siis saame analoogiliselt üht tüüpi aatomite juhuga kirjutada liikumisvõrrandid kujul:

$$M_1 \ddot{u}_s = c_1 (v_{s+1/2} + v_{s-1/2} - 2u_s)$$

$$M_2 \ddot{v}_{s+1/2} = c_1 (u_{s+1} + u_s - 2v_{s+1/2})$$



21

Erinevate aatomitega võre pikivõnkumised

• Oletame jällegi, et nende võrrandite lahendid on kujul:

$$u_s = u e^{i(qsa - \omega t)} \quad v_{s+1/2} = v e^{i(q(s+1/2)a - \omega t)}$$

* Siis jõuame natuke keerukama dispersioonivalemini:

$$M_1 M_2 \omega^4 - 2c_1 (M_1 + M_2) \omega^2 + 4c_1^2 \sin^2 \frac{qa}{2} = 0$$

* Selle ruutvõrrandi (ω^2 suhtes) lahendiks on:

$$\omega_{\pm}^2 = c_1 \frac{M_1 + M_2}{M_1 M_2} \pm \sqrt{\left[c_1 \frac{M_1 + M_2}{M_1 M_2} \right]^2 - 4 \frac{c_1^2}{M_1 M_2} \sin^2 \frac{qa}{2}}$$

22

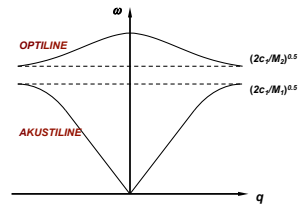
Erinevate aatomitega võre

• Saadud võrrandi eripäraks on see, et meil on nüüd 2 erinevat dispersioonikõvera haru võre pikivõnkumistele.

* Haru ω on analoogne monoatomilise mudeli omaga ning ta meenutab helilainete dispersiooni. Seetõttu teda nimetataksegi **AKUSTILISEKS** haruks.

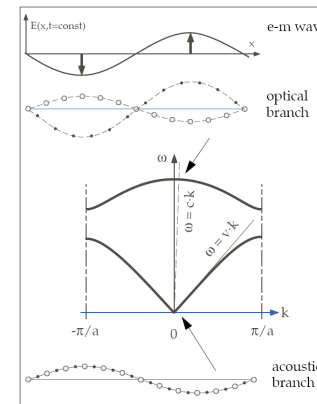
⇒ Haru ω , on siis kõrgemate sagedustega haru ning teda nimetatakse **OPTILISEKS** haruks.

* Ka ristivõnkumiste korral tekivad samamoodi optilised ja akustilised dispersiooniharud.



23

Optiline ja akustiline haru



• Optical branch:

$$k \rightarrow 0 : \omega^2 = 2C \left(\frac{1}{M_1} + \frac{1}{M_2} \right)$$

$$\frac{u}{v} = -\frac{M_2}{M_1}$$

ω finite as $k \rightarrow 0$

• Acoustic branch:

$$k \rightarrow 0 : \omega^2 = \frac{C/2}{M_1 + M_2} a^2 k^2$$

$$\frac{u}{v} = 1$$

$\omega \rightarrow 0$ as $k \rightarrow 0$

$\omega = vk$ Sound waves

At the BZ boundary:

$$k = \frac{\pi}{a} : \omega^2 = \frac{2C}{M_1}$$

$$\omega^2 = \frac{2C}{M_2}$$

24

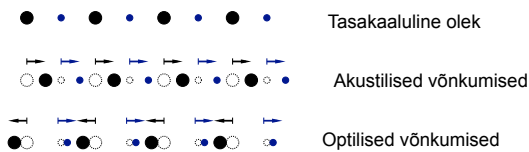
Erinevate aatomitega võre

• Aatomite võnkumine on vägagi erinev optilises ja akustilises moodis.

* **AKUSTILISES** moodis võnguvad aatomid teineteisega **ühes faasis**, **OPTILISES** moodis aga **vastasfaasides**.

* Seda saab esitada ka vaadeldes erinevate aatomite nihete suhet u/v

⇒ Akustiliste võnkumiste puhul on see suhe alati **positiivne**, optiliste võnkumiste puhul aga **negatiivne**.



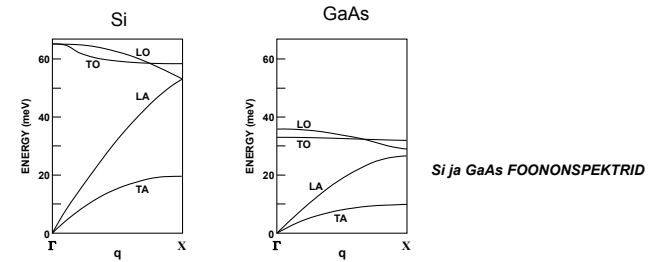
25

Erinevate aatomitega võre

• Kuigi me vaatlesime siin vaid kahest erinevast aatomist koosnev võret, võib käsitlust laiendada ka rohkemate erinevate aatomitega võredele.

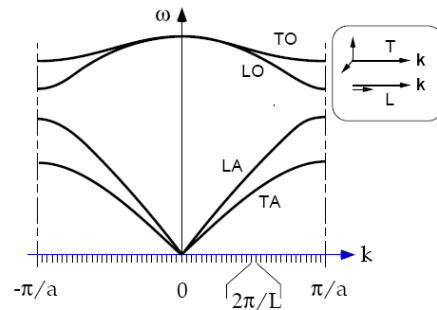
* 3D kristallides, mis koosnevad p erinevast aatomist saame alati ühe grupi akustilisi moode ning $p-1$ gruppi optilisi moode.

⇒ Iga moodide grupp omab omakorda **ÜHE** pikimoodi (L) ning **KAKS** ristimoodi (T), kusjuures kokku on moode üldse **$3p$**



26

Erinevate aatomitega võre



27

Erinevate aatomitega võre

• Nagu näha eelnevalt jooniselt lõhenevad GaAs akustilised ja optilised moodid tsooni servades ja seda tänu Ga ja As aatomite erinevatele massidele:

$$\omega_{\pm}^2 = c_1 \frac{M_1 + M_2}{M_1 M_2} \pm \sqrt{\left[c_1 \frac{M_1 + M_2}{M_1 M_2} \right]^2 - 4 \frac{c_1^2}{M_1 M_2} \sin^2 \frac{qa}{2}}$$

* Selline lõhenemine tekitab jällegi **keelutsooni** foononspektris.

* Tsooni **ÄÄRTES** on $q = \pi/a$ ja siis omandab eelnev valem allpooltoodud kuju.

$$\omega_{\pm}^2 = c_1 \frac{M_1 + M_2}{M_1 M_2} \pm \left[c_1 \frac{M_1 - M_2}{M_1 M_2} \right] \quad \omega_+^2 = 2 \frac{c_1}{M_2} \quad \omega_-^2 = 2 \frac{c_1}{M_1}$$

⇒ On näha, et kui massid M_1 ja M_2 on samad, siis ka ω_+ ja ω_- samad

28

FOONONID

• Me nägime enne, et kristallvõre võnkumised annavad meile **diskreetsed moodid** kindlate lainearvude ning sagedustega.

* Analooiliselt fotonitega on siis ka kristallvõre võnkumiste energia kvantiseeritud vastavalt valemile:

$$E = \hbar\omega$$

⇒ Kristallvõre võnkumiste **KVANTI** kutsutakse **FOONONIKS**

29

FOONONID

• Kuigi elektronide ja foononite käitumises kristallis on palju sarnast, on nende vahel ka suur erinevus. Nimelt on foononid **BOSONID**, s.t. nad ei allu Pauli printsibile!

* Seega võib igas moodis olla mitu foononit, kusjuures seda olukorda kirjeldab siis **BOSE-EINSTEINI** jaotusfunktsioon.

$$\langle n(\omega) \rangle = \frac{1}{\exp(\hbar\omega/k_B T) - 1}$$

⇒ **KÕRGETEL TEMPERatuuridel** jaotusfunktsioon lihtsustub:

$$\langle n(\omega) \rangle \approx \frac{k_B T}{\hbar\omega}, \quad \frac{\hbar\omega}{k_B T} \ll 1$$

30

FOONONID

• Siis kõrgetel temperatuuridel võib ühe foononmoodi energia leida nõnda:

$$\langle n(\omega) \rangle \times \hbar\omega \approx \hbar\omega \frac{k_B T}{\hbar\omega} = k_B T$$

• Selles olekus on kristalli energia ühtlaselt jaotatud kõigi foononmoodide vahel.

* Siis kristalli võnkumiste **koguenergiaks** saame:

$$U = \sum \frac{3\hbar\omega}{\exp(\hbar\omega/k_B T) - 1}$$

⇒ Number 3 võrrandis tuleneb kristalli 3 mõõtmest ning summeeritud on üle kõikide foononmoodide.

31

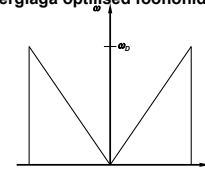
FOONONID

• Kristallide üheks oluliseks parameetrik on nende **ERISOOJUSMAHTUVUS**, mille võib leida kristalli koguenergia kaudu integreerides üle kõigi foononmoodide:

$$U = \int_0^\infty 3N(\omega) \langle n(\omega) \rangle \hbar\omega d\omega$$

* Siin N foononite olekute tihedus ning selles nn. **DEBYE** mudelis eeldatakse, et vaid akustilised foononid lähevad arvesse soojusmahtuvuse arvutamisel.

Seega selline mudel kehtib suhteliselt madalatel temperatuuridel, kus kõrgema energiaga optilised foononid ei ole ergastatud.



• Akustilist haru Debye mudelis kirjeldab valem $\omega = v_g q$ kus v_g on **HELIKIIRUS** kristallis

• Eksisteerib nn. sageduse ülempiir ω_D , mida nimetatakse ka **DEBYE** sageduseks.

32

FOONONID

• Et leida **foononite olekute tihedust** kasutame teadmist, et foononite **lainearvude** tiheduse võib leida alljärgnevalt:

$$N(q)dq = \frac{V}{8\pi^3} 4\pi q^2 dq = \frac{V}{2\pi^2} q^2 dq$$

* sest mäletatavasti ruumala, mida üks foononmood k-ruumis hõivas, avaldus:

$$\Delta q_m^3 = \frac{8\pi^3}{L^3} = \frac{8\pi^3}{V}$$

* Kasutades akustiliste foononite dispersiooni avaldist saame leida foononite **sagedusolekute tiheduse** Debye mudelis:

$$N(\omega)d\omega = N(q) \frac{dq}{d\omega} d\omega = \frac{V}{2\pi^2} \frac{\omega^2}{v_g^3} d\omega$$

← helikiirus

33

FOONONID

• Kui arvestada, et integraalne olekute tihedus kristallis on võrdne 3N, siis saame leida ka nn. Debye sageduse:

$$3N = \int_0^{\omega_D} 3N(\omega)d\omega \Rightarrow \omega_D^3 = 6\pi^2 v_g^3 \frac{N}{V}$$

* Sel juhul võime kristalli koguenergia avaldise kirjutada kujul:

$$U = \frac{3V(k_B T)^4}{2\pi^2 v_g^3 \hbar^3} \int_0^{\omega_D} \frac{x^3}{e^x - 1} dx, \quad x = \frac{\hbar\omega}{k_B T}$$

* Kristalli **ERISOOJUSMAHTUVUS** avaldub siis nii:

$$c_v = \frac{1}{V} \frac{\partial U}{\partial T} = 9Nk_B \left[\frac{T}{T_D} \right]^3 \int_0^{\omega_D} \frac{x^4 e^x}{(e^x - 1)^2} dx, \quad T_D = \frac{\hbar\omega_D}{k_B} \quad \text{DEBYE TEMPERatuur}$$

$T_D \sim 100-300K$

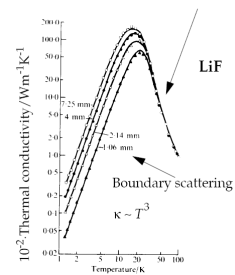
34

FOONONID

• Soojusmahtuvuse integraali on üldiselt raske arvutada, kuid madalatel temperatuuridel saame lihtsustatud tulemuseks:

$$c_v \approx \frac{12}{5} \pi^4 Nk_B \left[\frac{T}{T_D} \right]^3, \quad T \ll T_D$$

* Selline **KUUBILINE** sõltuvus temperatuurist on üsna sageli ka eksperimentides jälgitav.



35

ELEKTRON-FOONON VASTASMÖJU

Mida meile üldse annab teadmine pooljuhi foononitest?

Elektron-foonon vastasmõju avaldub põhiliselt:

□ Elektronide hajumisel (s.t. triivis ja difusioonis)

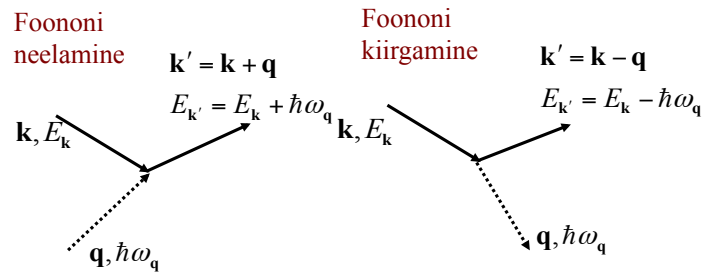
□ Optilistes protsessides (s.t. neeldumine, Raman spektroskoopia ja luminesents)

36

ELEKTRON-FOONON VASTASMÕJU

Elektron-foonon vastasmõjus peavad kehtima:

- energia jäävuse seadus
- kvaasiimpulsi jäävuse seadus k-ruumis



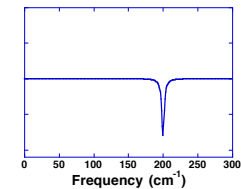
37

Infrapunane neeldumine ja Raman spektroskoopia

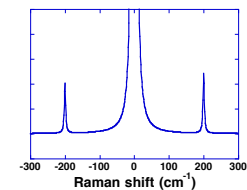
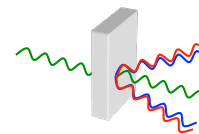
IR



Erinevad valikureeglid!

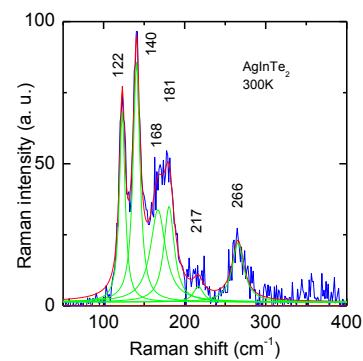


Raman



38

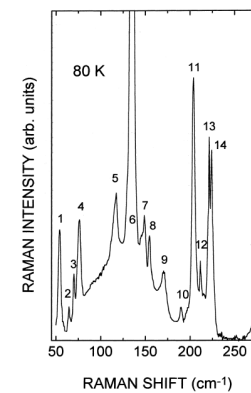
ELEKTRON-FOONON VASTASMÕJU



AgInTe₂ kristalli Raman spekter, mõõtis Ilona!

39

ELEKTRON-FOONON VASTASMÕJU



CuGaTe₂ Raman'i spekter
C. Rincon et al. / Journal of
Physics and Chemistry of Solids
62 (2001) 847-855

Foononspektrite erinevus annab võimaluse kasutada Raman spektroskoopiat erinevate faaside analüüsiks sarnaselt XRD-le.

Elektron-foonon vastasmõju fotoluminestsentsi puhul käsitleme edaspidi!

40